

Table 4. Distribution of sand.

| Classification | Location     | Sand (ppm) |                  |     |                                |     |
|----------------|--------------|------------|------------------|-----|--------------------------------|-----|
|                |              | Total      | SiO <sub>2</sub> | FeO | Al <sub>2</sub> O <sub>3</sub> | MnO |
|                | Electrode    | 50         | 37               | <1  | 10                             | <1  |
| No. 1          | Top          | 7          | 2                | <1  | 4                              | <1  |
|                | Upper middle | 7          | 2                | <1  | 4                              | <1  |
|                | Lower middle | 6          | 2                | <1  | 3                              | <1  |
|                | Bottom       | 7          | 3                | <1  | 3                              | <1  |
|                | Electrode    | 16         | 9                | <1  | 6                              | <1  |
| No. 2          | Top          | 9          | 5                | <1  | 3                              | <1  |
|                | Upper middle | 8          | 4                | <1  | 3                              | <1  |
|                | Lower middle | 8          | 4                | <1  | 3                              | <1  |
|                | Bottom       | 7          | 3                | <1  | 3                              | <1  |
|                | Electrode    | 47         | 40               | <1  | 4                              | <1  |
| No. 3          | Top          | 13         | 6                | <1  | 6                              | <1  |
|                | Upper middle | 10         | 4                | <1  | 5                              | <1  |
|                | Lower middle | 14         | 7                | <1  | 5                              | <1  |
|                | Bottom       | 14         | 7                | <1  | 5                              | <1  |

鋼塊に比較して、極めて良好である。

2) 本方式により、化学成分のうち、Mn が最も減少し、C, Cr, Ni も多少減少する。したがつて Mn 量のコントロールには特に留意する必要がある。

3) C, S, P は鋼塊の頭部中心部に偏在し、他の成分の偏析は認められない。

4) O<sub>2</sub> 量の減少は一般にいちじるしい。特にサンド中の SiO<sub>2</sub> の減少が顕著である。N<sub>2</sub> 量はほとんど変化がない。

5) 顕微鏡的非金属介在物中、A<sub>1</sub> 系はほとんど変化なく、A<sub>2</sub> 系、C 系の酸化物系の介在物が減少している。

以上のごとく、消耗電極式真空アーケ溶解せる鋼塊の性状はいちじるしく改良されるが、なお 2, 3 の溶解と各種材力試験を実施中なので、これについては後日報告する。

## (88) 大型火力発電所主蒸気管用鋼 (2<sup>1/4</sup> Cr-1 Mo) への真空鋳造の応用

住友金属工業鋼管製造所

谷口千之・田上豊助・○小谷良男

An Application of Vacuum Casting Process to the Steel (2<sup>1/4</sup> Cr-1 Mo) for Main Steam Pipes of a Heat Power Station.

Chiyuki TANIGUCHI, Toyosuke TANOUE  
and Yoshio KOTANI.

### I. 緒 言

当所における真空鋳造の目的は、大型火力発電所に使う主蒸気管鋼 (2<sup>1/4</sup> Cr-1 Mo) の品質向上で、当所ではエルハルトプレス方式で製造しているが、この方式は、鋼塊部位別の鍛造比に大きな差があり、特に空隙などの欠陥の圧着にはきわめて不利でありかつまた、大型鋼塊特有の下部沈デン晶の問題などより脱酸剤としての Al の制約を受けるなどから、主として脱酸の促進を計ることにより品質の向上を得るべく真空鋳造を適用した。

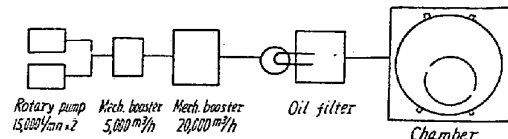


Fig. 1. Pumping system.

Table 1. Performance of the pump.

|                                 | S. M. B.-20,000<br>Mechan. booster | S. M. B.-5,000<br>Mechan. booster | S. R.-15,000<br>Rotary pump |
|---------------------------------|------------------------------------|-----------------------------------|-----------------------------|
| Number                          | 1                                  | 1                                 | 2                           |
| Motor                           | 50HP (440V)                        | 15HP (440V)                       | 30HP (440V)                 |
| Pumping speed (max)             | 20,000 m³/h                        | 5,000 m³/h                        | 15,000 l/mn                 |
| Highest vacuum degree           | 5 × 10⁻⁴ mmHg                      | 5 × 10⁻⁴ mmHg                     | 1 × 10⁻³ mmHg               |
| Rotating speed of a roots rotor | 900 r.p.m                          | 1,800 r.p.m                       | 410 r.p.m                   |

ポンプの配列は Fig. 1 に、またポンプの性能は、Table 1 にそれぞれ示した。

### III. 製造工程の概要

#### 1. 化学成分および鋼塊の形状

##### (1) 化学成 分

| C     | Si            | Mn            | P. S.  | Cr            | Mo            |
|-------|---------------|---------------|--------|---------------|---------------|
| ≤0.15 | 0.10<br>~0.50 | 0.30<br>~0.60 | ≤0.030 | 2.00<br>~2.50 | 0.90<br>~1.10 |

##### (2) 鋼塊の形状(代表例)

##### 2. 製管方式とメタルフロー

##### (1) 製管方式およびプレス設備

3,000 t 積水圧プレス}によるエルハルト方式  
1,500 t 横水圧プレス}

(2) 製造工程の1例 鋼塊→押湯切断→穿孔および1回横押抜き→8回横押抜き後端切→洗滌→10回押抜き→仕上引き→軟化→洗滌→曲取→管切→手入→外径削。

(3) メタルフロー エルハルトプレス方式で穿孔する時のメタルフローは複雑であるので、これを調査するため多くの実験を行つた。鋼塊底部の欠陥は底の方へ集る傾向にあるが、鋼塊上部の欠陥は管の内面に全面的に拡がる。また穿孔後の各部の鍛造比は内外面にいちじるしい差を生ずることが判明した。

##### 3. 製品検査

##### (1) 寸法検査

##### (2) 水圧試験

##### (3) 超音波探傷試験

##### (4) マクロ・エッチ試験(管の両端)

##### (5) 扁平試験(管の両端)

#### (6) チック化学分析

### IV. 品質上の問題点

#### (1) 気泡疵

一般に鋼塊の頭部側に相当する製品の位置に現れるが、はなはだしい場合には全長にわたつて現れることもある。調査結果によれば、気泡疵を発生した製品は O₂ 含有量が高く、脱酸不足の鋼塊から製造したもので、Al 添加量を增量することによってその発生を防止することが出来る。

#### (2) インクルージョン疵

鋼塊下部の沈デン晶帯に相当する鋼管の横断面をマクロ・エッチして調べると斑点状の疵が多数見られる。Al 添加量を種々変えた鋼塊について試験した結果、沈デン晶帯の Al₂O₃ の集積は Al 添加量を少なくすれば無くなることがわかつた。しかし Al 添加量の減少は気泡疵の発生を招き、150 g/t 以下に減少することは気泡防止の面から不可能であつた。

### V. 結果の概要

従来大気铸造材では 150~200 g/t の Al を添加していた。

真空铸造の適用にさいしては、製品材の詳細な確性試験を行なつて品質を確認しつつ、順次 Al 添加量の減少を行ない最終的にはこれを皆無とした。また、同時に铸造速度など造塊条件の改善を計つてきた。

#### 1. マクロ成績

真空铸造第3次試験でマクロ成績は上部、底部ともに 100% Grade A が確保された。

#### 2. 扁平成績

マクロ成績とほぼ同様の傾向が認められ、第3次試験で疵の発生はほとんどなくなつた。

Table 2. Dimensions of ingots.

| Shape | Size of Section (mm) |        | Length (mm) | Taper | H/D       | Volume of feeder head (%) | Ingost weight (kg) |       |
|-------|----------------------|--------|-------------|-------|-----------|---------------------------|--------------------|-------|
|       | Top                  | Bottom |             |       |           |                           |                    |       |
| F8A   | Squares              | 718□   | 622□        | 1,480 | 64.8/1000 | 2.21                      | 16.3               | 6,000 |
| F9B   | 〃                    | 822    | 700         | 1,750 | 69.8/1000 | 2.30                      | 17.0               | 9,000 |

Table 3. Comparison of pipes, vacuum and air cast.  
Macro-etch test.

| Cast     | Grade      | Portion |      |      |      | Top (%) |   |   |   | Bottom (%) |      |      |      |
|----------|------------|---------|------|------|------|---------|---|---|---|------------|------|------|------|
|          |            | A       | B    | C    | D    | A       | B | C | D | A          | B    | C    | D    |
| Air-cast | Test No. 1 | 16.7    | 33.3 | 25.0 | 25.0 | —       | — | — | — | 29.2       | 33.3 | 37.5 | 37.5 |
|          | No. 2      | —       | 25.0 | —    | —    | —       | — | — | — | 25.0       | 50.0 | 25.0 | 25.0 |
|          | No. 3      | 100.0   | —    | —    | —    | 100.0   | — | — | — | 50.0       | 25.0 | 25.0 | 25.0 |

### 3. 超音波探傷成績

超音波試験で発見される欠陥は従来から比較的軽微でしかも管端に限定されているので不良となるものはほとんどなかつたが、欠陥発生度合の多いのが問題とされていた。これが第3次試験で大幅に解消された。

Table 4. Comparison of pipes, vacuum and air cast. Ultrasonic test.

| Cast        | Ultrasonic test (%) |        |
|-------------|---------------------|--------|
|             | No defect           | Defect |
| Air-cast    | 68.8                | 31.2   |
|             | 71.5                | 28.5   |
|             | 75.0                | 25.0   |
| Vacuum-cast | 93.5                | 6.5    |

### 4. ガスおよびインクルージョンの変化

#### (1) 酸素量

Fig. 2 に比較を行なつたが、大気铸造したものは、押湯内  $O_2\%$  が  $65 \pm 15 \times 10^{-4}$  に対し、真空铸造せるものはすべて  $55 \times 10^{-4}$  以下で脱酸が十分に行なわれ、その効果いちじるしいものがある。

なお真空铸造において、Al 皆無としたものは Al 50~100 g/t に比し若干高い傾向を示しているが、 $O_2\%$  の絶対値は低いので特に問題はない。

#### (2) 水素量

铸造中真空度  $0.7 \sim 2.5 \text{ mmHg}$  における铸造での  $H_2\%$  は大部分  $15 \times 10^{-5}$  以下で、60% 以上の脱水素が示されている。

#### (3) $Al_2O_3$ 量

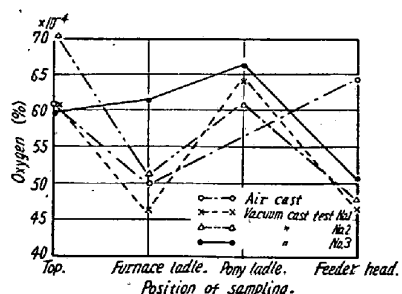


Fig. 2. Comparison of oxygen content in the steels cast in vacuum and air.

Fig. 3 に比較を行なつたが、Al を使用したものは、

使用 Al 量に比し

$Al_2O_3$  量が押湯内で

高くなつてゐるが、

Al を使用せず真空

铸造せるものは、

$Al_2O_3\%$  は  $10 \times 10^{-4}$

以下で極端に低値を

示しマクロ成績向上

に大きく寄与してい

る。

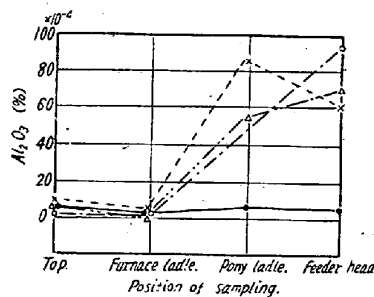


Fig. 3. Comparison of alumina content in the steels cast in vacuum and air.

#### (4) $SiO_2$ 量

铸造別および Al 使用の有無にかかわらず  $SiO_2\%$  は  $8 \times 10^{-4}$  内外で余り差が見られない。

## VI. 結 言

火力発電主蒸気管用鋼 ( $2\frac{1}{4} \text{ Cr}-1 \text{ Mo}$ ) の品質向上を計るため、真空铸造設備を設置した。大径厚肉管の気泡疵、インクルージョン疵の発生防止に関して種々造塊条件の検討を行ない、最適铸造条件を見出した。筆者らの試験結果によれば、

(1) 出鋼温度  $1650 \pm 10^\circ\text{C}$

(2) 脱酸用 Al 使用せず

(3) 铸込み速度  $2.2 \text{ t}/\text{mn}$

(4) 真空シール板  $0.4 \text{ mm}$  鉄板

であり、本条件で铸造を行なうことによつて、従来問題視されていたマクロ試験、扁平試験、超音波試験などの成績はいづれも改善せられ、大径厚肉管の品質向上と安定化にいちじるしい成果を示した。